

Fig. 1

Fig. 1a

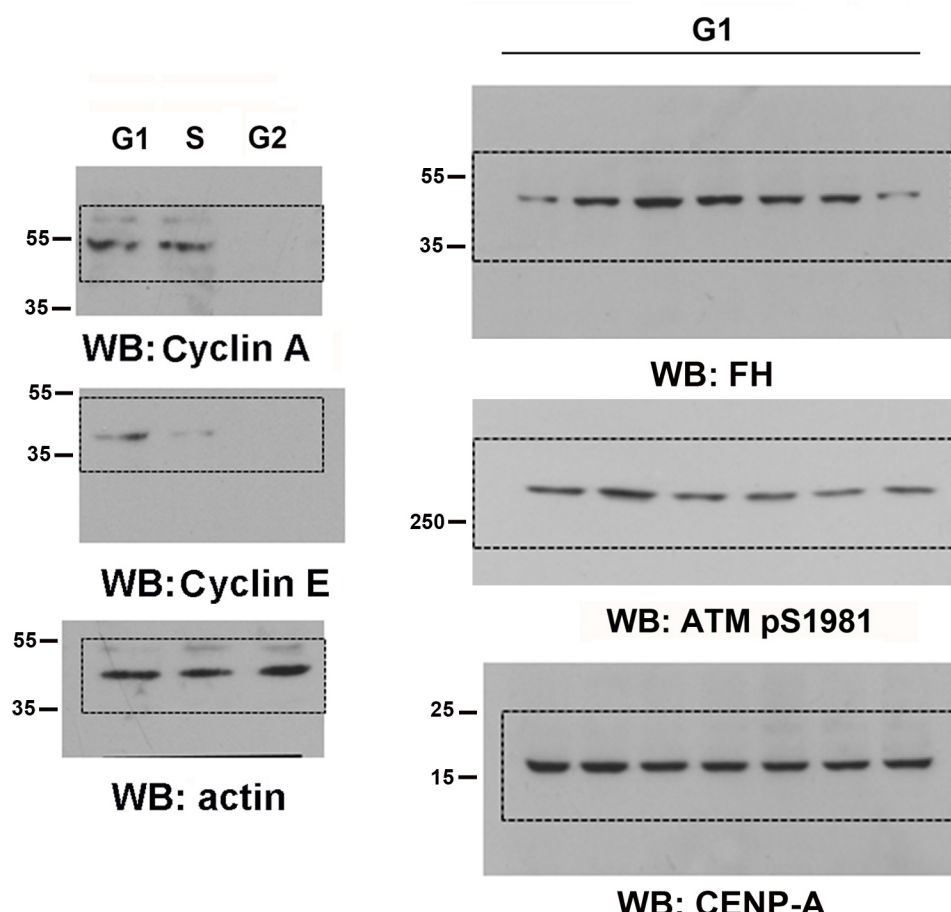


Fig. 1c

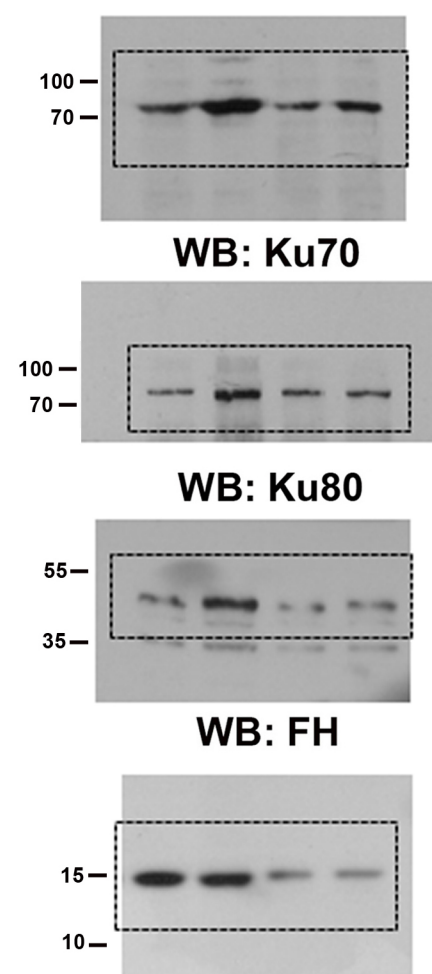


Fig. 1d

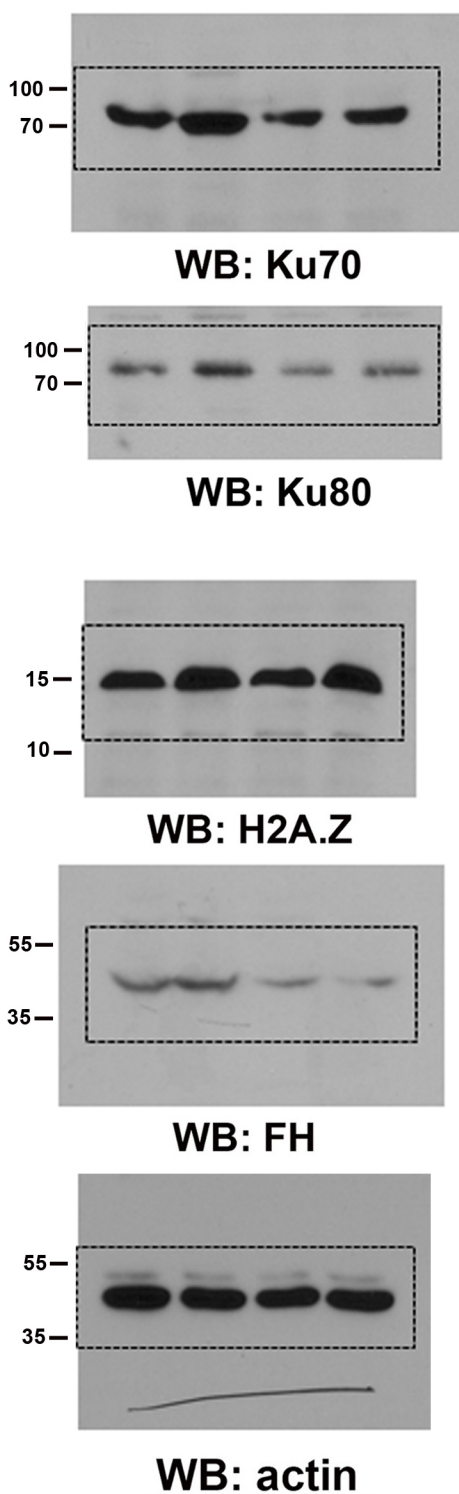


Fig. 1b

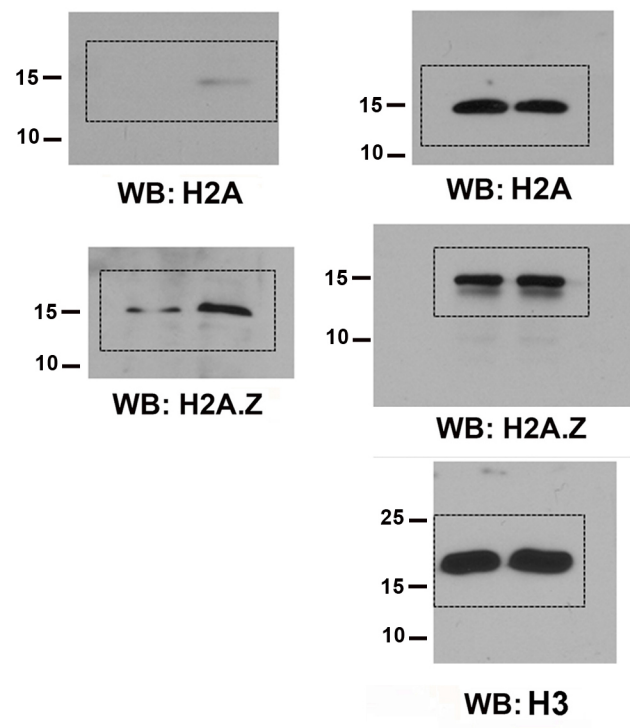


Fig. 2

Fig. 2a

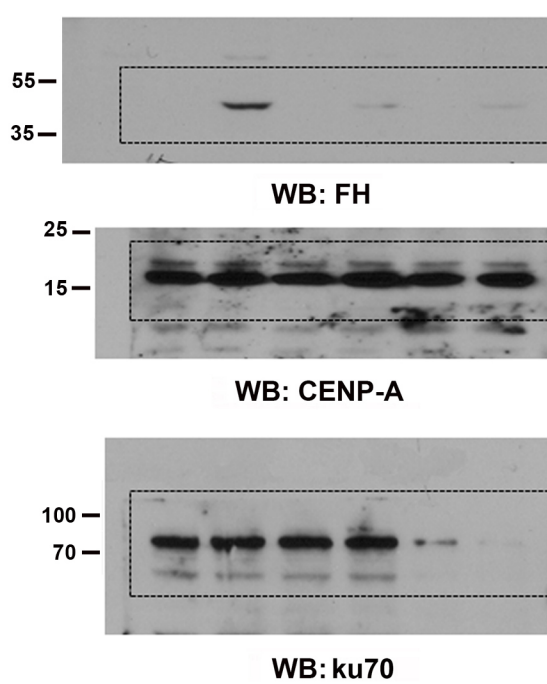


Fig. 2b

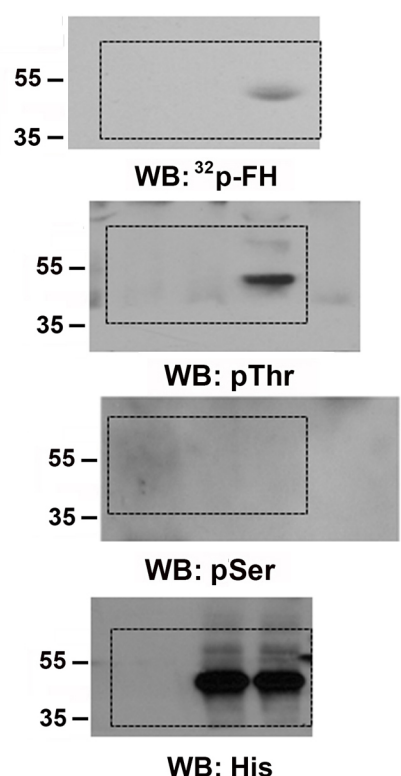


Fig. 2c

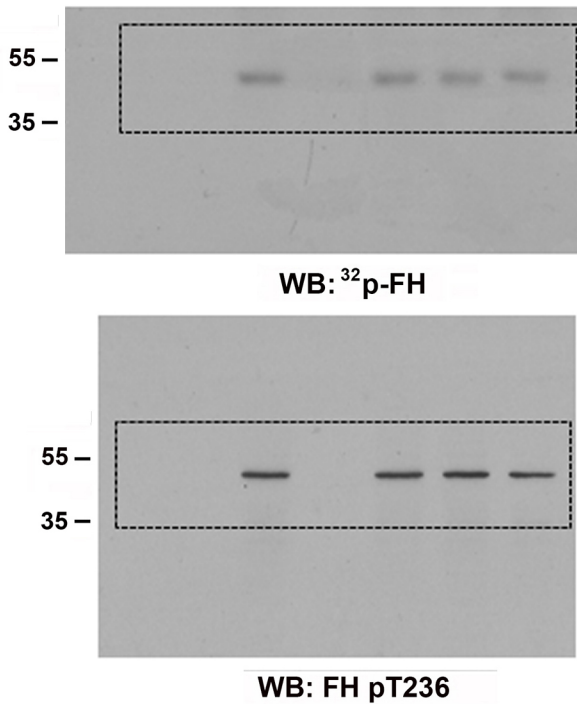


Fig. 2d

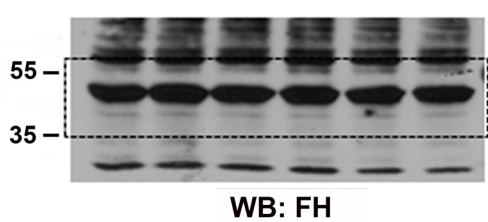
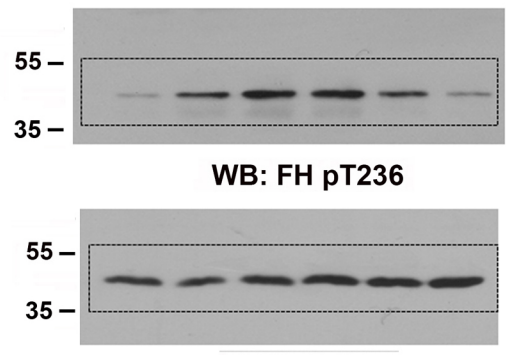


Fig. 3

Fig. 3b

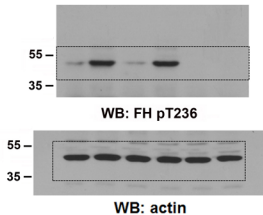


Fig. 3c

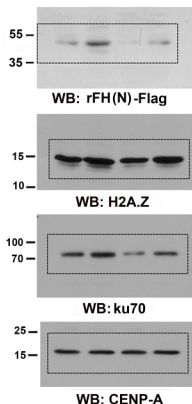


Fig. 4

Fig. 4a

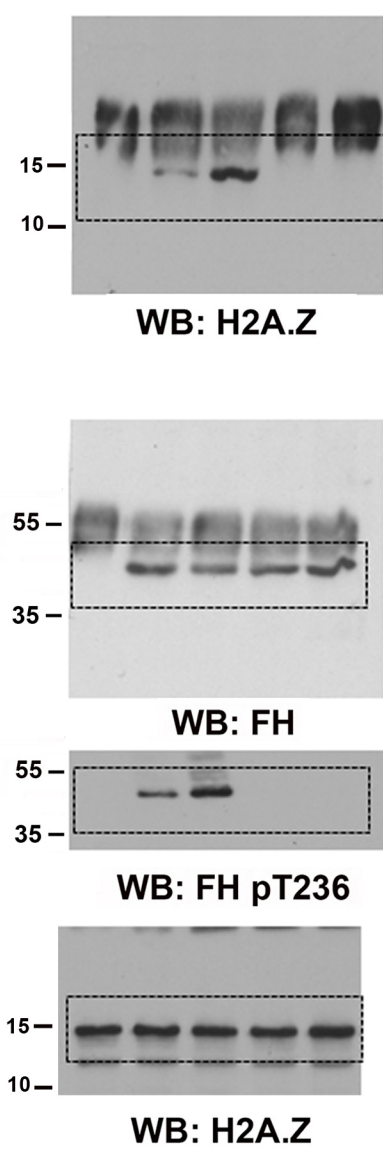


Fig. 4b

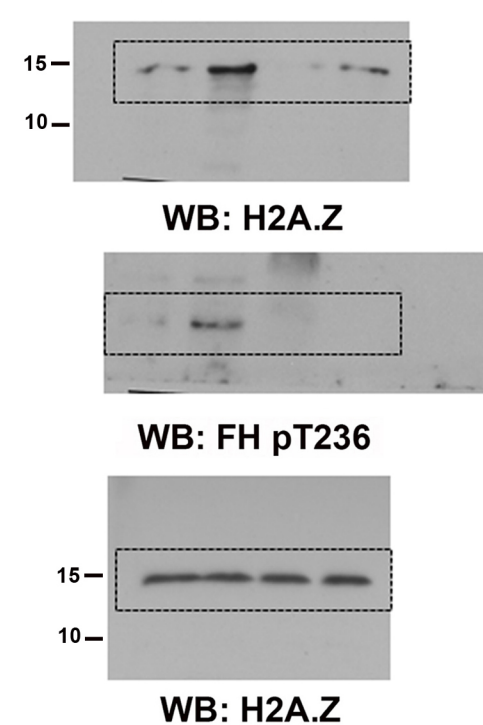


Fig. 4c left panel

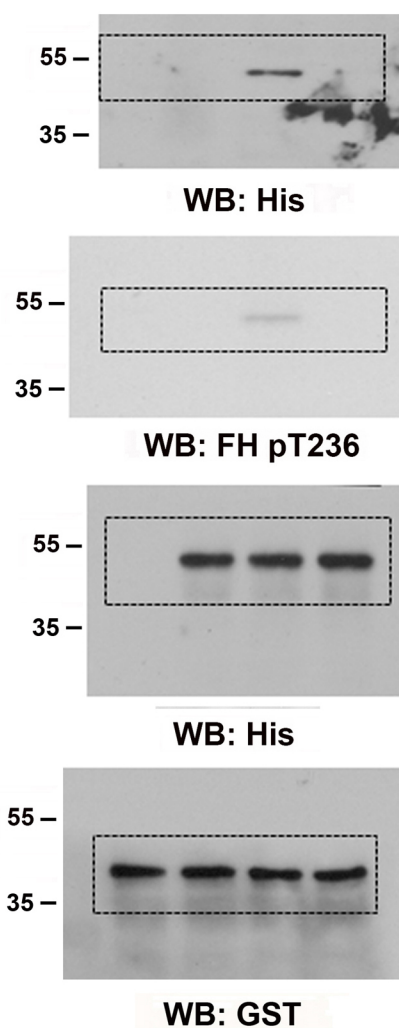


Fig. 4c right panel

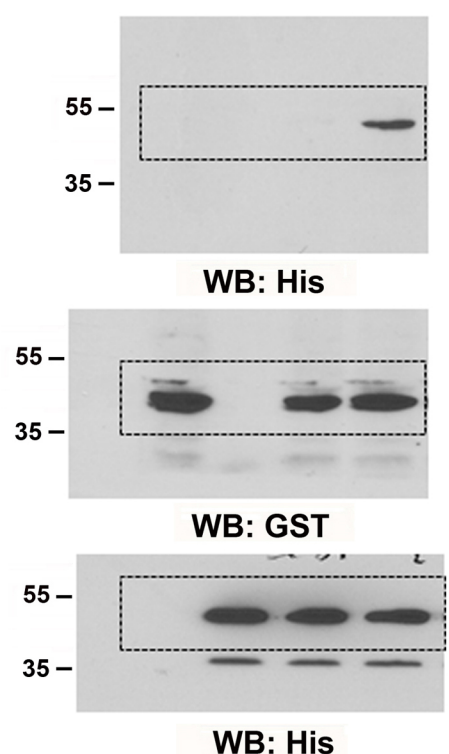


Fig. 4h

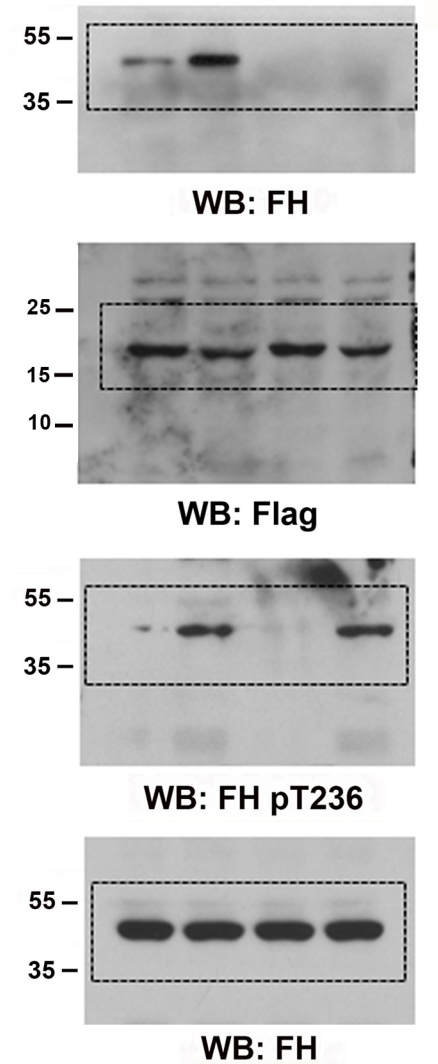


Fig. 4d

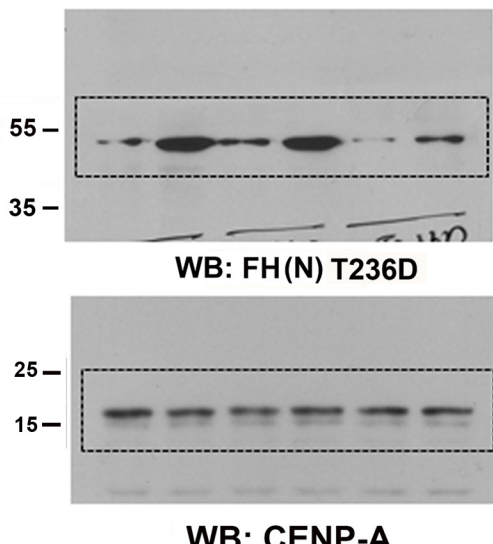


Fig. 4f

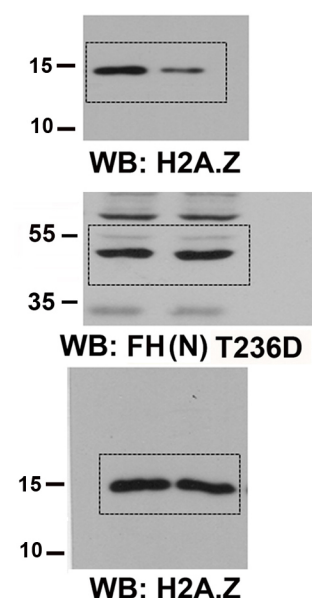


Fig. 4g

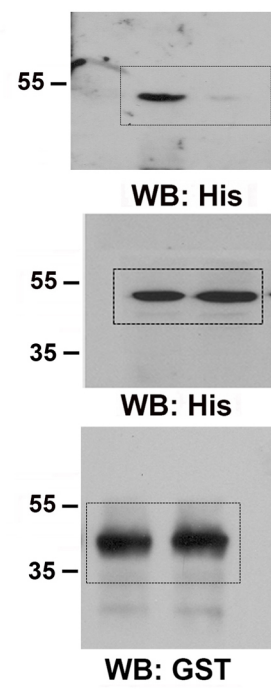
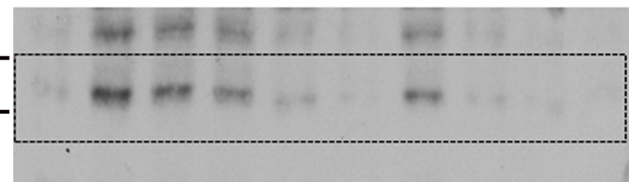
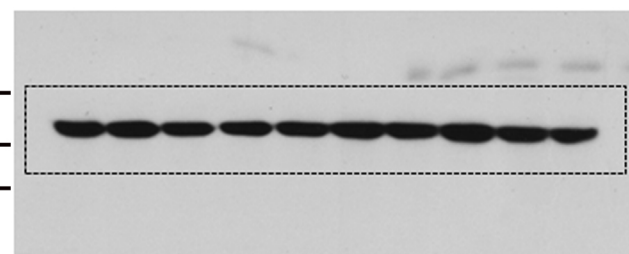


Fig. 6

Fig. 6a left panel

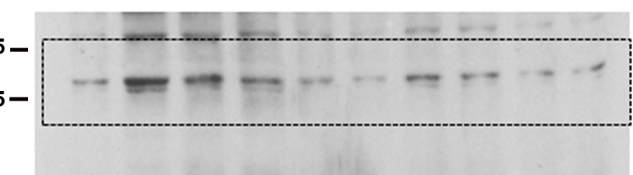


WB: H3K36Me2

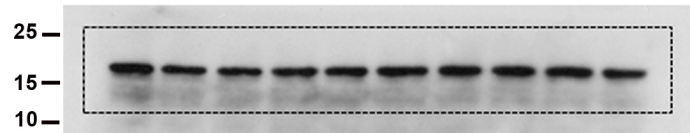


WB: H3

Fig. 6a right panel

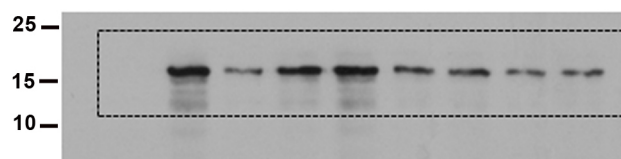


WB: H3K36Me2

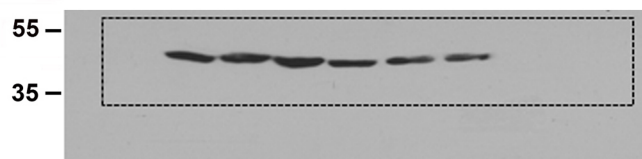


WB: H3K36Me2

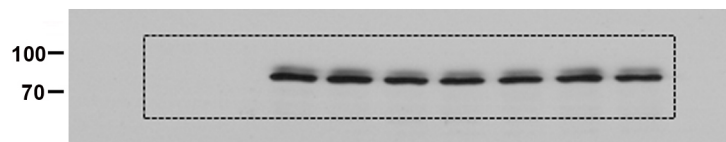
Fig. 6h



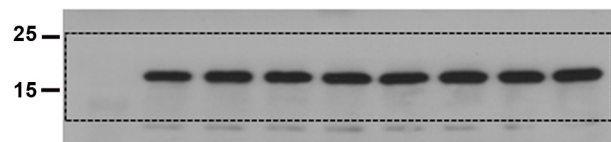
WB: H3K36Me2



WB: FH



WB: His-KDM2B



WB: H3

Fig. 7

Fig. 7a left panel

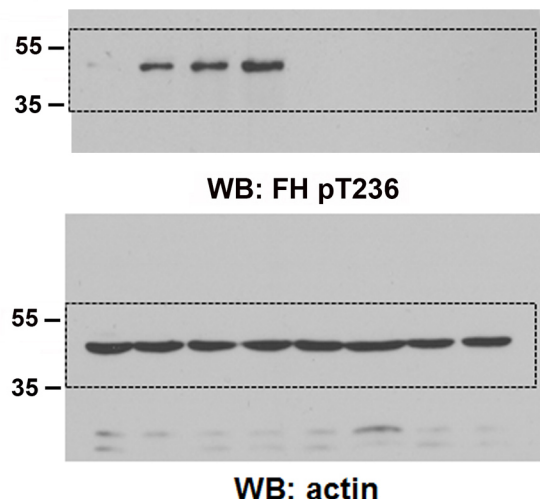


Fig. 7a right panel

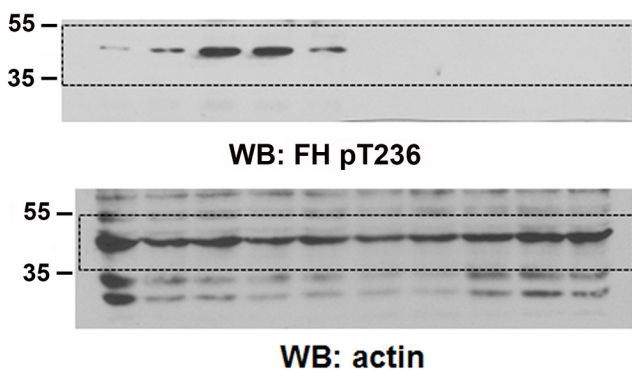


Fig. 7b

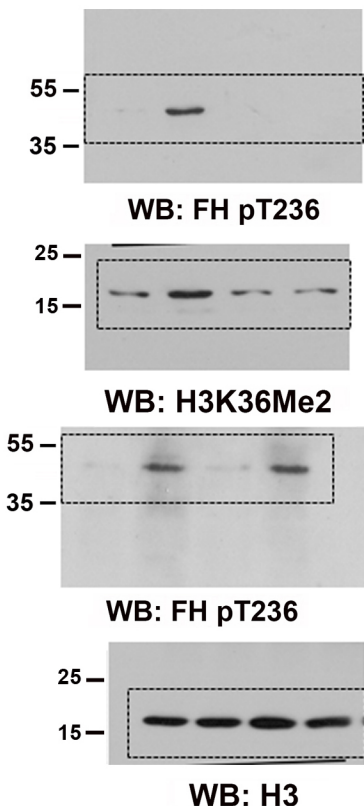


Fig. S2

